



VYSOKÉ UČENÍ TECHNICKÉ V BRNĚ  
BRNO UNIVERSITY OF TECHNOLOGY

FAKULTA STROJNÍHO INŽENÝRSTVÍ  
ÚSTAV AUTOMOBILNÍHO A DOPRAVNÍHO  
INŽENÝRSTVÍ

FACULTY OF MECHANICAL ENGINEERING  
INSTITUTE OF AUTOMOTIVE ENGINEERING

## VODOROVNÝ PÁSOVÝ DOPRAVNÍK

HORIZONTAL BELT CONVEYOR

BAKALÁŘSKÁ PRÁCE  
BACHELOR'S THESIS

AUTOR PRÁCE  
AUTHOR

VEDOUCÍ PRÁCE  
SUPERVISOR

JURAJ ŠMOTLÁK

Ing. JIŘÍ ŠPIČKA, CSc.

BRNO 2008



## Anotácia

Cieľom tejto bakalárskej práce je návrh konštrukčný vodorovného pásového dopravníka dĺžky 50m s prepravnou kapacitou 160 t/hod. Prepravovaným materiálom je kamenivo. Táto práca obsahuje funkčný výpočet a určenie hlavných rozmerov dopravníka, návrh pohonu a pevnostný výpočet hnaného hriadeľa.

## Annotation

The point of this bachelor's thesis is suggestion construction of horizontal belt conveyor 50 meters long with transport capacity 160 tons per hour. The rubble is transported material. This project contains functional calculation and conveyor main proportions determination, drive suggestion and driven shaft fortress calculation.



VYSOKÉ  
UČENÍ  
TECHNICKÉ  
V BRNĚ

FAKULTA  
STROJNÍHO  
INŽENÝRSTVÍ

### Bibliografická citácia mojej práce:

ŠMOTLÁK, J. *Vodorovný pásový dopravník*. Brno: Vysoké učení technické v Brně, Fakulta strojního inženýrství, 2008. 26 s. Vedoucí bakalářské práce Ing. Jiří Špička, CSc.



Prehlasujem, že som túto bakalársku prácu vypracoval sám bez cudzej pomoci s použitím literatúry v nižšie uvedenom zozname.

V Brne 22.5. 2008

Juraj Šmotlák

.....

podpis



VYSOKÉ  
UCENÍ  
TECHNICKÉ  
V BRNĚ

FAKULTA  
STROJNÍHO  
INŽENÝRSTVÍ

Chcel by som sa podakovať hlavne vedúcemu svojej bakalárskej práce Ing. Jiřímu Špičkovi, CSc. za prispomienky a rady ktoré mi pomohli pri realizácii práce a taktiež všetkým, ktorý mi poskytli cenné rady.

V Brne 22.5. 2008

Juraj Šmotlák

.....

podpis

## Obsah:

1	Úvod .....	1
2	Konštrukčný návrh pásového dopravníku .....	2
2.1	Dopravný pás .....	3
2.2	Poháňacia stanica .....	4
2.3	Hnaný bubon .....	5
2.4	Nosná konštrukcia a pražce .....	5
2.5	Nosné valčeky .....	6
2.6	Čistič pásu .....	7
3	Výpočty .....	8
3.1	Funkčné výpočty .....	8
3.1.1	Volba dopravnej rýchlosťi .....	8
3.1.2	Určenie šírky pásu .....	8
3.1.3	Výpočet hlavných odporov .....	8
3.1.4	Výpočet vedľajších odporov .....	9
3.1.5	Prídavné odpory .....	10
3.1.6	Výsledný odpor .....	10
3.1.7	Výkon hnacieho elektromotoru .....	10
3.1.8	Korekcia výkonu motora .....	10
3.1.9	Sily v pásse .....	11
3.2	Pevnostné výpočty .....	12
3.2.1	Kontrola pásu .....	12
3.2.2	Kontrola hriadeľa napínacieho bubna .....	12
3.2.3	Kontrola životnosti ložísk .....	16
4	Záver .....	17
5	Zoznam použitej literatúry .....	18
6	Zoznam použitých skratiek a symbolov .....	19
7	Zoznam príloh .....	21

## 1 Úvod

Cieľom mojej záverečnej bakalárskej práce je návrh vodorovného pásového dopravníka. Mám za úlohu navrhnúť pohon, hlavné rozmery dopravníka a spraviť funkčné a pevnostné výpočty. Podľa zadania je dopravník určený na prepravu kameniva o zrnitosti 0 – 63mm s dopravným výkonom 160 000 kg/hod na vzdialenosť 50m. Dopravník bude pracovať vo vonkajšom prostredí pravdepodobne v kameňolome.

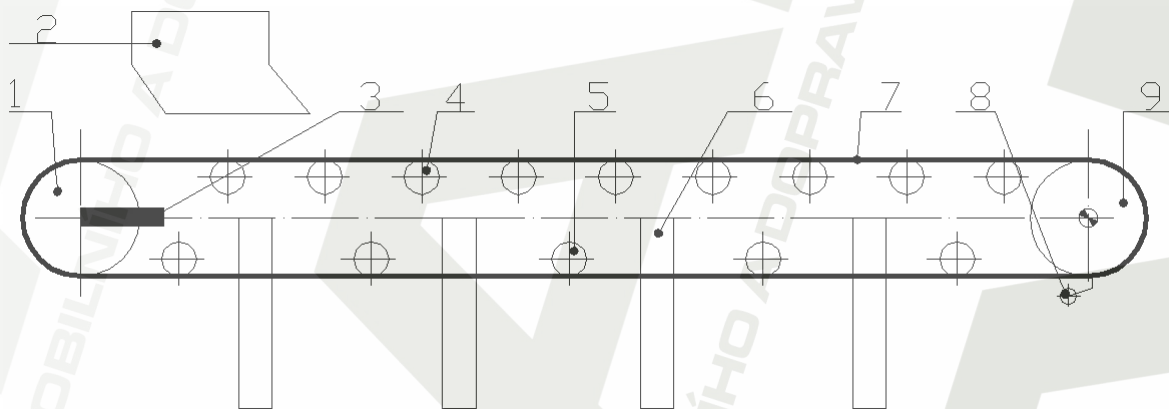
Dopravníky slúžia k preprave sypkých alebo kusových materiálov. Okrem vodorovných dopravníkov sa konštruujú aj šikmé dopravníky, ktoré sú vhodné na prekonanie klesania alebo stúpania v závislosti od druhu prepravovaného materiálu a použitého pásu. Konštrukcia pásového dopravníka zabezpečuje plynulý presun materiálu bez otriasov a vibrácií. Sú vhodné pre široký rozsah výkonov a vzdialenosťí.

## 2 Konštrukčný návrh pásového dopravníku

Základnou časťou pásového dopravníku je pás. Volím pogumovaný pás s textilnou vložkou. Pás je podopieraný valčkovými stolicami. Pre hornú vetvu je použitá rovná stolica s jedným valčekom. Vratná vetva je taktiež osadená stolicami s jedným valčekom. Na násypnom konci dopravníka je umiestnené napínacie zariadenie, ktoré zaistí dostatočné napnutie pásu. Na druhej strane dopravníka je umiestnená poháňacia stanica spolu s čističom pásu.

Ked'že som si ako pohon zvolil elektrobubon, tak po dohode s vedúcim mojej bakalárskej práce sme pozmenili zadanie a namesto kreslenia podzostavy pohonu a výkresu hnacieho hriadeľa urobím podzostavu napínacieho bubna a výkres hnaného hriadeľa.

Obr. 1 – schéma dopravníku



- 1 – Hnaný bubon
- 2 – Násypka
- 3 – Napínacie zariadenie
- 4 – Valčeky hornej stolice
- 5 – Valčeky dolnej stolice

- 6 – Nosná konštrukcia
- 7 – Dopravný pás
- 8 – Čistič pásu
- 9 – Hnací elektrobubon

## 2.1 Dopravný pás

Základnou časťou dopravníku je pás, preto požiadavky naň kladené sú vysoké. Ide hlavne o:

- odolnosť proti oteru
- vysoká pozdižná tuhosť
- nízka hmotnosť
- vysoká pevnosť
- dlhá životnosť

Pás je tvorený textilnou kostrou obalenou ochrannými vrstvami z gumy. Kostra je zložená z 2 až 14 textilných vložiek. Horná ochranná vrstva chráni pás pred abrazívnymi účinkami prepravovaného materiálu prípadne počasia, pričom dolná vrstva chráni pás pred účinkami nosných valčekov a bubenov.

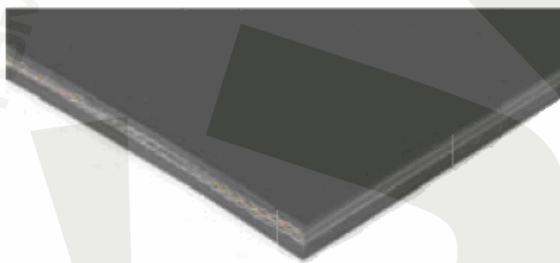
Pre navrhovaný dopravník som zvolil pás od firmy GUMEX, s.r.o. :

- **typ:** EP400/3 – Prižové pásy pre priemyselné použitie
- **pracovná teplota:** -60°C/+60°C
- **počet vložiek:** 3, sila pásu cca 10mm
- **šírka pásu:** 500mm
- **krycie vrstvy:** 3mm horná vrstva, 1,5mm dolná vrstva
- **kategória:** AA
- **min. ø hnacieho bubna:** 315mm
- **hmotnosť:** 5,20kg

Označenie pásu:

**EP 400/3 š.500 3+1,5 AA** podľa [5]

Obr.2 – rez pásom



## 2.2 Poháňacia stanica

Ako pohon som zvoli elektrobubon. Je to vhodné riešenie na pohon pásových dopravníkov. Oproti použitiu motoru s prevodovkou je tento spôsob pohonu dopravníku lepší hlavne pre svoje minimálne rozmery.

Ďalšie výhody sú:

- chladenie a mazanie jednou olejovou náplňou
- jednoduchá zapúzdrená konštrukcia s minimálnymi rozmermi
- riadenie rýchlosťi vo veľkom rozsahu

FAKULTA  
STROJNÍHO  
INŽENÝRSTVÍ

Elektrobubon môže byť použitý v prerusovanom alebo nepretržitom chode. Výmena olejovej náplne je možná bez demontáže motora a je zabezpečená pomocou výpustného ventilu. Potrebné množstvo oleja sa určuje na základe dĺžky a priemeru valca a je predpísaná výrobcom.

Povrch bubna ja pogumovaný pre lepšie vedenie pásu.

Obr.3 – konštrukcia elektrobubna

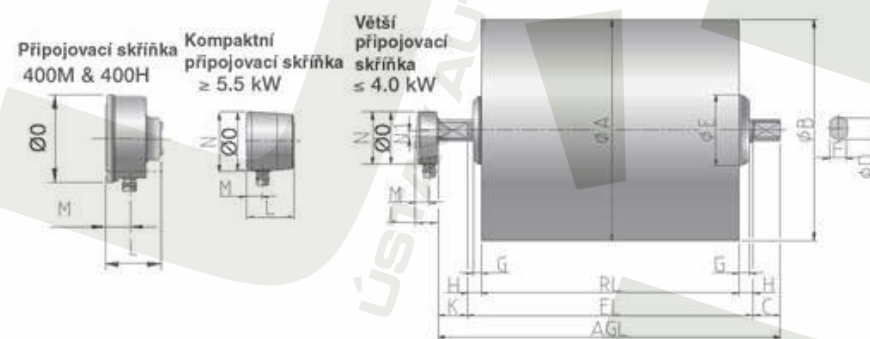


Na pohon dopravníku som si vybral elektrobubon od firmy Rulmeca. podľa [7]

Tab.1

Typ	Priemer (mm)	Prevedenie	Výkon (kW)	Šírka (mm)	Rýchlosť (m/s)	Max. radiálne zaťaženie (N)
400 L	404	Lahké	3	600	0,8 – 2,5	20000

Obr. 4



## 2.3 Hnaný bubon

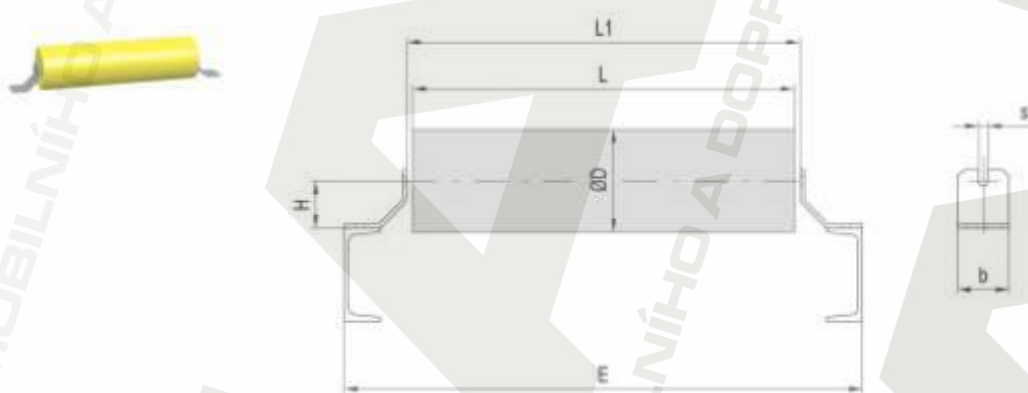
Hnaný bubon je zvarený z oceľovej rúry a plechu kruhového tvaru. . Povrch bubna je z vonkajšej strany pogumovaný, čo ovplyvní súčiniteľ trenia a je dosiahnuté lepšie vedenie pásu. V mojom prípade slúži hnaný bubon aj ako napínací. Napínanie je zabezpečené pomocou hydraulického valca.

## 2.4 Nosná konštrukcia a pražce

Nosná konštrukcia valčekových stolíc je zvarená z tyče profilu U 180 ČSN 42 5570 , materiál je oceľ triedy 11 373. Valčekové stolice sú na nosnú konštrukciu priskrutkované v rôznych vzdialostiach pre hornú a dolnú vetvu. Na pražcoch sú prichytené valčeky

Pre hornú vetvu som zvolil jedno valčekovú stolicu s pražcami od firmy Tranza a.s. podľa [6]

Obr. 5

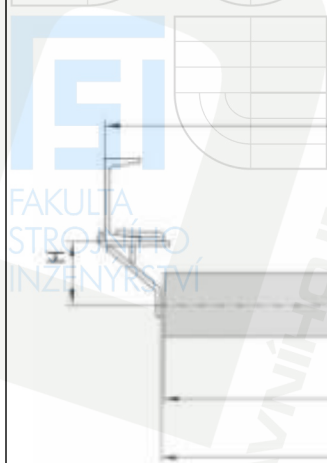


Tab. 2

Šírka pásu (mm)	Rozmery (mm)							
	E	D	L	L <sub>1</sub>	H	b	s	[
500	800	76	600	608	73	80	14	10 – 14

Pre dolnú vetyu som zvolil pražce taktiež od firmy Tranza a.s. podľa [6]

Obr. 6



Tab.3

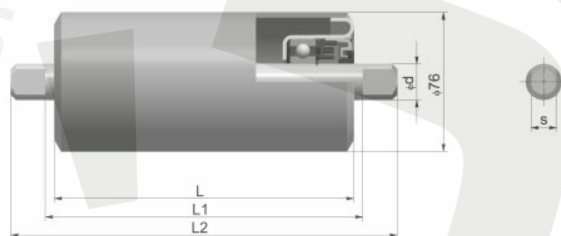
Šírka pásu (mm)	Rozmery (mm)								
	E	D	L	L <sub>1</sub>	H	b	d	s	[
400-800	700-1150	76	500-950	508-958	84	100	20	14	10 - 14

## 2.5 Nosné valčeky

Nosné valčeky som zvolil pre hornú aj dolnú vetyu rovnaké a vybral som ich z katalógu firmy Tranza a.s.

Označenie valčekov: F – 076x600 / 6204 / A / PP.1003 podľa [6]

Obr. 7



Tab.4

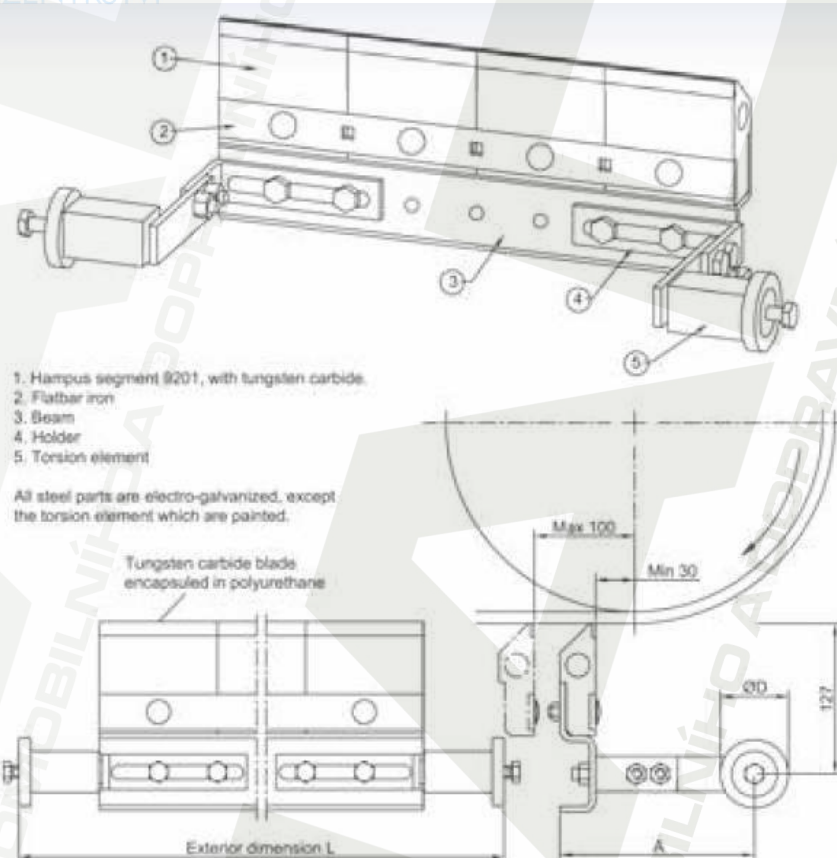
Rozmery (mm)			Hmotnosť (kg)		Šírka pásu (mm)
L <sub>1</sub>	L <sub>2</sub>	L <sub>3</sub>	rotačnej časti	celková	
600	608	626	3,3	5,0	500

## 2.6 Čistič pásu

Pri doprave materiálu a obzvlášť vlhkého a lepivého sa dopravný pás znečistí. Keď znečistený pás prechádza po valčekoch spodnej vetvy, tak sa zväčšuje opotrebenie pásu a valčekov, ako aj narastajú odpory. Preto sa používajú čističe pásu. Najjednoduchšia formu čističa je z mäkkej gumy pritlačovanej k bubnu.

Rozhodol som sa použiť čistič od firmy Vendig AB Sweden [9]

FAKULTA  
STROJNÉHO INŽENÝRSTVIA  
Obr. 8 – čistič pásu



Tab.5

Typ	Šírka pásu [mm]	Poč. čistiacich segmentov	Šírka čističa [mm]	L [mm]	ØD [mm]	A [mm]	Hmotnosť [kg]
9205	500	5	500	582-682	58	166	4,8



VYSOKÉ  
UČENÍ  
TECHNICKÉ  
V BRNĚ

### 3 Výpočty

#### 3.1 Funkčné výpočty

##### 3.1.1 Volba dopravnej rýchlosťi

Pre dopravu kameniva volím  $v = 2 \text{ m/s}$  podľa [1] str.148, tab.8.3

##### 3.1.2 Určenie šírky pásu

Teoretický prierez náplne materiálu

$$S = \frac{Q}{3600 * v * \rho} = \frac{160000}{3600 * 1750 * 2} = 0,01269 \text{ m}^2 \quad (1)$$

Q – dopravný výkon ..... zadané

v – dopravná rýchlosť ..... volené

$\rho$  – objemová hmotnosť ..... zadané

Z vypočítaného prierezu volím podľa [1] str.149, tab.8.4 šírku pásu  
 $B = 500 \text{ mm}$

Využitá ložná šírka pásu

$$b = 0,9 * B - 0,05 = 0,9 * 0,5 - 0,05 = 0,4 \text{ m} \quad (2)$$

##### 3.1.3 Výpočet hlavných odporov

$$O_H = f * L * g * [(q_1 + 2 * q_2) * \cos \alpha + q_{rh} + q_{rd}]$$

$$O_H = 0,0214 * 9,81 * 50 * [(22,22 + 2 * 2,6) * \cos 0 + 3,3 + 1,32]$$

$$O_H = 336,337 \text{ N}$$

L – dĺžka dopravníka ..... zadané

g – gravitačné zrýchlenie ..... zadané

$\alpha$  – sklon dopravníku ..... zadané

Globálny súčinatel' odporu

$$f = f_1 * k_2 = 1,07 * 0,02 = 0,0214 \quad (4)$$

$f_1$  – globálny súčinatel' trenia pri teplote 20°C.

$k_2$  – teplotný súčinatel' volené podľa [1] str.152, obr.8.19

Tiažová sila dopravovaného materiálu na 1m dĺžky

$$q_1 = \frac{I_v * \rho}{v} = \frac{S * v * k * \rho}{v} = \frac{0,0126 * 2 * 1 * 1750}{2} = 22,222 \text{ kg/m} \quad (5)$$

v – dopravná rýchlosť ..... volené

$\rho$  – objemová hmotnosť ..... zadané

S – teoretický prierez náplne materiálu ..... vypočítané v (1)

k – súčinitel sklonu dopravníka ..... zadané

Tiažová sila od hmotnosti 1m pásu

$$q_2 = m_p * B = 5,2 * 0,5 = 2,6 \text{ kg/m} \quad (6)$$

$m_p$  – hmotnosť pásu ..... volené z [4]

B – šírka pásu ..... volené

Tiažová sila od rotujúcich častí horných valčekov na 1m dĺžky dopravníka

$$q_{rh} = \frac{G_r * n_h}{t_h} = \frac{3,3 * 1}{1} = 3,3 \text{ N/m} \quad (7)$$

$G_r$  – tiažová sila od rotujúcich častí 1 valčeka ..... volené z [5]

$n_h$  – počet valčekov v hornej vetve ..... volené

$t_h$  – rozteč horných valčkových stolíc ..... volené

Tiažová sila od rotujúcich častí dolných valčekov na 1m dĺžky dopravníka

$$q_{rd} = \frac{G_r * n_d}{t_d} = \frac{3,3 * 1}{2,5} = 1,32 \text{ N/m} \quad (8)$$

$G_r$  – tiažová sila od rotujúcich častí 1 valčeka ..... volené z [5]

$n_d$  – počet valčekov v dolnej vetve ..... volené

$t_d$  – rozteč dolných valčkových stolíc ..... volené

### 3.1.4 Výpočet vedľajších odporov

$$O_v = O_{v1} + O_{v2} + O_{v3} = 44,44 + 350 + 100 = 494,44 \text{ N} \quad (9)$$

Odpor v násypke vzniknutý zrýchlením materiálu dopadajúceho na pás

$$O_{v1} = I_v * \rho * (v - v_0) = 0,02539 * 1750 * (2 - 1) = 44,44 \text{ N} \quad (10)$$

$v_0$  – rýchlosť materiálu dopadajúceho na pás ..... volené

Odpor pásu vplyvom ohybu cez bubny

$$O_{v2} = (100 \text{ až } 250) - \text{pre jeden bubon}$$

$$O_{v2} = 2 * 175 = 350N$$

(11)

$O_{v2}$ .....volené podľa [1] str.154

Odpor v ložiskách hnaných bubnov

$$O_{v3} = (50 \text{ až } 150) - \text{pre jeden bubon}$$

$$O_{v3} = 100N$$

(12)

$O_{v3}$ .....volené podľa [1] str.154

### 3.1.5 Príavné odpory

Odpor čističa pásu

$$Op = Z_c * (0,2 \approx 0,4) * B = 1 * 0,5 * 500 = 100N$$

(13)

$Z_c$  – počet čističov.....volené

$B$  – šírka pásu.....volené

### 3.1.6 Výsledný odpor

$$F = O_H + O_v + O_p = 336,337 + 494,44 + 100 = 930,782N$$

(14)

### 3.1.7 Výkon hnacieho elektromotoru

$$P = \frac{F * v}{\eta} = \frac{930,782 * 2}{0,8} = 2327W = 2,3kW$$

(15)

### 3.1.8 Korekcia výkonu motora

Pre prípad, že by sa zastavila dodávka elektrickej energie a dopravník by sa plne zaťažený zastavil, hrozilo by, že by sa nemusel zase rozbehnúť. Na prekonanie statických odporov preto zvýšim výkon elektromotoru o 20%.

$$P_k = 1,2 * P = 1,2 * 2327 = 2792W = 2,8kW$$

(16)

Podľa takto vypočítaného potrebného výkonu som zvolil elektrobubon firmy Rulmeca .....viď. v časti 2.2 Poháňacia stanica

### 3.1.9 Sily v pásse

#### Prenos obvodovej sily na poháňacom bubne

$$F_{2\min} \geq F_{U\max} * \frac{1}{e^{\mu*\varphi} - 1} = F * \xi * \frac{1}{e^{\mu*\varphi} - 1}$$

$$F_{2\min} \geq 930,782 * 1,5 * \frac{1}{e^{0,35*3,14} - 1} = 697,097 N \quad (17)$$

$\mu$  – súčinitel trenia medzi hnacím bubenom a pásom.....volené z [3] tab. 4

$\varphi$  – uhol opásania hnacieho bubnu v [rad].....zadané

$\xi$  – súčinitel rozbehu.....volené z [3]

#### Obmedzenie podľa previsu pásu

Pre hornú vetvu:

$$F_{\min} \geq \frac{t_h(q_2 + q_1)*g}{8(h/a)_{adm}} = \frac{1*(2,6 + 22,22)*9,81}{0,012} = 20292,17 N \quad (18)$$

$t_h$  – .....volené

$q_1$  – .....vypočítané (5)

$q_2$  – .....vypočítané (6)

$8(h/a)_{adm}$  – .....volené

Pre dolnú vetvu:

$$F_{\min} \geq \frac{t_d * q_2 * g}{8(h/a)_{adm}} = \frac{2,5 * 2,6 * 9,81}{0,012} = 5313,75 N \quad (19)$$

$t_d$  – .....volené

#### Najväčšia ťahová sila v páse

$$F_{\max} \approx F_1 \approx F * \xi \left( \frac{1}{e^{\mu*\varphi} - 1} + 1 \right) \quad (20)$$

$$F_{\max} = 930,782 * 1,5 \left( \frac{1}{e^{0,35*3,14} - 1} + 1 \right) = 2093,27 N$$

### 3.2 Pevnostné výpočty

#### 3.2.1 Kontrola pásu

$$F_{dov} > F_{\max}$$

$$F_p * B > F_{\max}$$

$$40 * 500 > 2093$$

$$20000 > 2093 \Rightarrow VYHOVUJE$$

(21)

$F_p$  – pevnosť pásu.....volené podľa z [4]

Určenie skutočného tahu v páse namáhajúceho os bubna

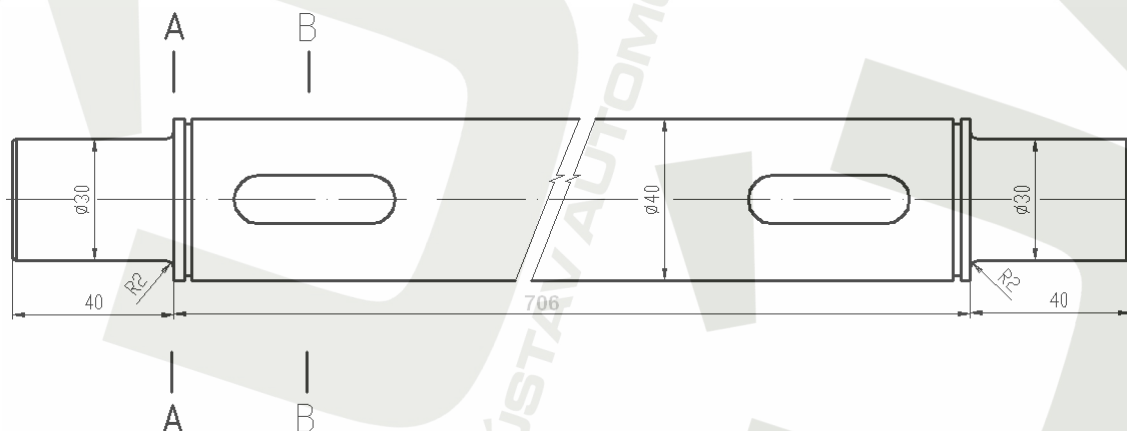
$$F_2 = \frac{F_1}{e^{\mu * \phi}} = \frac{2093,27}{e^{0,35 * 3,14}} = 697,097 N \quad (22)$$

$$F_s = \sqrt{F_1^2 + F_2^2} = \sqrt{2093,27^2 + 697,097^2} = 2206,293 N \quad (23)$$

Z vypočítaného tahu v páse vyplýva, že vybraný elektrobubon je navrhnutý z dostatočnou rezervou voči radiálnemu zaťaženiu.

#### 3.2.2 Kontrola osi napínacieho bubna

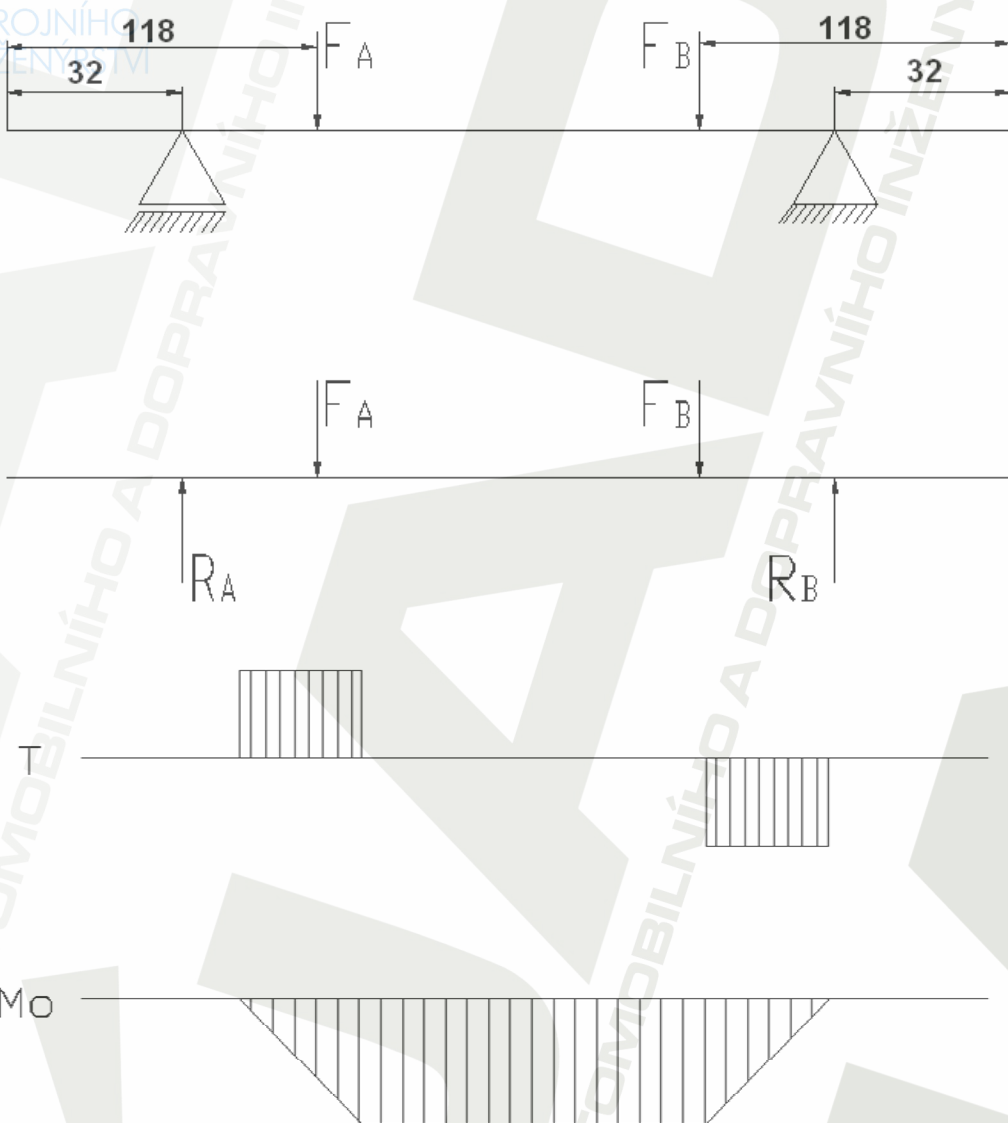
Obr. 9 – návrh hriadeľa



Tab.6 – návrh materiálu

Materiál	R <sub>m</sub> [MPa]	R <sub>e</sub> [MPa]	σ <sub>oc</sub> [MPa]	σ <sub>c</sub> [MPa]
11 500	520	280	225	145

Obr. 10 – priebeh VVÚ



Výpočet reakcie v ložiskách

$$R_A = R_B = \frac{F_s}{2} = \frac{F_A + F_B}{2} = 1103N \quad (24)$$

**Prierez A**  
**Statická bezpečnosť**

Napätie v ohybe

$$\sigma_O = \frac{M_O}{W_O} = \frac{R_A * c}{\pi * d^3} = \frac{1103 * 8 * 32}{\pi * 30^3} = 3,32 MPa \quad (25)$$

$$\sigma_{O_{max}} = \alpha_k * \sigma_O = 1,82 * 3,32 = 6,05 MPa \quad (26)$$

Bezpečnosť

$$k_k = \frac{R_e}{\sigma_{O_{max}}} = \frac{280}{6,05} = 46,21 \Rightarrow \text{vyhovuje} \quad (27)$$

$M_O$  – ohybový moment.....vypočítané

$W_O$  – modul prierezu.. ....vypočítané

$d$  – minimálny priemer hriadeľa .....volené

$\alpha_k$  – súčinitel' tvaru.....volené [4]

**Dynamická bezpečnosť**

Vrubový súčinitel'

$$\beta = 1 + \frac{\alpha - 1}{1 + \frac{\sqrt{p'}}{\sqrt{R}}} = 1 + \frac{1,82 - 1}{1 + \frac{0,38}{\sqrt{2}}} = 1,646 \quad (28)$$

$R$  – rádius na osadní hriadeľa .....volené

$p'$  – neuberová elementárna častica.....volené z [4]

Komplexný vrubový súčinitel'

$$\beta^* = \frac{\varepsilon * v}{\beta} = \frac{0,9 * 0,8}{1,646} = 0,437 \quad (29)$$

$\varepsilon$  – súčinitel' kvality povrchu .....volené z [4]

$v$  – súčinitel' veľkosti .....volené z [4]

Redukovaná medza únavy

$$\sigma_C^* = \sigma_{OC} * \beta^* = 225 * 0,437 = 98,4 MPa \quad (30)$$

### Bezpečnosť

$$k_o = \frac{\sigma_c^*}{\sigma_o} = \frac{98,4}{3,32} = 29,6 \Rightarrow \text{vyhovuje}$$


---

(31)

### Prierez B

#### Statická bezpečnosť

##### Napätie v ohybe

$$\sigma_o = \frac{M_o}{W_o} = \frac{R_A * c}{W_o} = \frac{1103 * (118 - 32)}{5377,65} = 17,64 \text{ MPa}$$
(32)

$$W_o = \frac{\pi * d^3}{32} - \frac{b * t * (D - t)^2}{2 * D} = \frac{\pi * 40^3}{32} - \frac{12 * 4,9 * (40 - 4,9)^3}{2 * 40} = 5377,65 \text{ mm}^3$$
(33)

t,b – zvolené podľa pera [2]

$$\tau = \frac{R_A}{\pi(D-t)^2} = \frac{1103}{\pi(40-4,9)^2} = 1,14 \text{ MPa}$$
(34)

$$\sigma_{o_{\max}} = \sqrt{\sigma_o^2 + 3 * \tau^2} = \sqrt{17,64^2 + 3 * 1,14^2} = 17,75 \text{ MPa}$$
(35)

##### Bezpečnosť

$$k_k = \frac{R_e}{\sigma_{o_{\max}}} = \frac{280}{17,75} = 15,77 \Rightarrow \text{vyhovuje}$$


---

(36)

### Dynamická bezpečnosť

##### Súčinitel' veľkosti telesa

$$\nu = 1 - \sqrt{0,02 * \log \frac{D}{10}} = 1 - \sqrt{0,02 * \log \frac{40}{10}} = 0,89$$
(37)

##### Vrubový súčinitel' drážky

$$\beta^* = 1,51 - 2,22 * 10^{-3} (10^3 - R_m)^{0,75} = 1,51 - 2,22 * 10^{-3} (10^3 - 520)^{0,75} = 1,282$$
(38)

##### Súčinitel' kvality povrchu

$$e^{-6,9 * 10^{-5} * R_m} = e^{-6,9 * 10^{-5} * 520} = 0,964$$
(39)

Redukovaná medza únavy

$$\sigma_c^* = \sigma_o * \beta^* = 17,64 * 1,282 = 22,61 MPa \quad (40)$$

Bezpečnosť

$$k_o = \frac{\sigma_{oc} * \varepsilon_p * V_o}{\sigma_c^*} = \frac{255 * 0,964 * 0,89}{22,61} = 9,67 MPa \Rightarrow \text{vyhovuje} \quad (41)$$

FAKULTA  
STROJNÍHO  
INŽENÝRSTVÍ

### 3.2.3 Kontrola životnosti ložísk

Hriadeľ bude uložený v ložiskách od firmy SKF Ložiska, a.s.  
Zvolil som: ložisko – 6206 podľa [8]

Únosnosť ložiska: statická  $C_0 = 11\ 200 N$   
dynamická  $C = 20\ 300 N$

Výpočet trvanlivosti

$$L_h = \left( \frac{C}{P} \right)^p \frac{10^6}{60 * n} = \left( \frac{20300}{1103,54} \right)^3 \frac{10^6}{60 * 96} = 1080690 h \quad (42)$$

$$P = X * F_r + Y * F_a = 1 * 1103 + 0 = 1103 N \quad (43)$$

$F_r = R_A = R_B$  ..... vypočítané v (24)

$F_a = 0$

$X = 1$  ..... volené z

$Y = 0$  ..... volené z

$n = 96$  1/min ..... vypočítané

Životnosť ložiska je postačujúca

## 4 Záver

Cieľom vyššie vpracovanej bakalárskej práce bolo navrhnuť vodorovný pásový dopravník. Spravil som funkčný výpočet s určením hlavných rozmerov dopravníka, návrh pohonu ako aj pevnostný výpočet hnaného hriadeľa, čím som splnil body zadania. Pri výpočtoch som postupoval podľa platnej normy ČSN ISO s použitím literatúry uvedenej v zozname.

Pri návrhu komponentov dopravníka som sa snažil využívať komponenty z katalógov firiem, ktoré sa zaoberejú výrobou týchto časťí, hlavne z z dôvodu zniženia nákladov na výrobu dopravníka.

## 5 Zoznam použitej literatúry

- [1] Gajdušek J., Škopán M. : **Teorie dopravních a manipulačních zařízení**, 1 vydání, Vysoké učení technické v Brne 1988
- [2] Leinveber J., Řasa J., Vávra P., : **Strojnické tabulky**, Scientia, spol. s.r.o., pedagogické nakladatelství, Praha 6, v roce 2000, ISBN 80-7183-164-6
- [3] Kosina J., Medek Z., : **Pásové dopravníky s nosnými válečky**, ČSN ISO 5048, Výzkumný ústav transportních zařízení, Praha, 1993
- [4] Kolář D. a kolektiv : **Části a mechanizmy strojů, Konstrukční cvičení I, návody a podklady**, 2. vydanie, Vysoké učení technické v Brne 2000, ISBN 80-86490-74-2
- [5] Katalóg firmy GUMEX  
Dostupný na:  
[http://www.gumex.cz/pdf/07\\_pasy.pdf](http://www.gumex.cz/pdf/07_pasy.pdf)
- [6] Katalóg firmy TRANZA  
Dostupný na:  
<http://www.tranza.cz/cs/produkty/dopravni-komponenty/valecky/>  
<http://www.tranza.cz/cs/produkty/dopravni-komponenty/prazce/>
- [7] Katalóg firmy RULMECA  
Dostupný na:  
[http://www.rulmeca.com/modules\\_cms/prcatpage.php?cc=3&pc=31](http://www.rulmeca.com/modules_cms/prcatpage.php?cc=3&pc=31)
- [8] Katalóg firmy SKF a.s.  
Dostupný na:  
<http://www.skf.com/files/515051.pdf>
- [9] Katalóg firmy Vendig AB  
Dostupný na:  
[http://www.vendig.se/website1/sd\\_page/13/2/index.php?item=prod\\_prod-s1/12](http://www.vendig.se/website1/sd_page/13/2/index.php?item=prod_prod-s1/12)

## 6 Zoznam použitých skratiek a symbolov

Veličina	Jednotka	Popis
b	m	Využitá ložná plocha pásu
B	m	Šírka pásu
c	mm	Rozstup
C	N	Dynamická únosnosť ložiska
$C_o$	N	Statická únosnosť ložiska
d	mm	Minimálny priemer hriadeľa
e	–	Základ prirodzených logaritmov
f	–	Globálny súčinatel' odporu
$f_l$	–	Globálny súčinatel' trenia
F	N	Výsledný odpor
$F_1$	N	Ťah v páse vo vetve nabiehajúcej na bubon
$F_2$	N	Ťah v páse vo vetve zbiehajúcej z bubna
$F_a$	N	Axiálna sila
$F_{dov}$	N	Dovolené napätie v páse
$F_{max}$	N	Najväčší ťah v páse
$F_{min}$	N	Najmenší ťah v páse
$F_p$	N	Pevnosť pásu
$F_r$	N	Radiálna sila
$F_s$	N	Skutočný ťah v páse
$F_U$	N	Potrebná obvodová sila na poháňacom bubne
g	$m/s^2$	Gravitačné zrýchlenie
$G_r$	N	Tiažová sila od rotujúcich častí jedného valčeka
$(h/a)_{adm}$	–	Dovolený relatívny previs pásu medzi valčekovými stolicami
k	°	Súčinatel' sklonu dopravníka
$k_2$	–	Teplotný súčinatel'
$k_o$	–	Dynamická bezpečnosť
$k_k$	–	Statická bezpečnosť
L	m	Dĺžka dopravníka
$L_h$	h	Trvanlivosť ložiska
$m_p$	$kg/m^{-2}$	Hmotnosť pásu
$M_o$	N/m	Ohybový moment
n	1/min	Otačky
$n_d$	–	Počet valčekov v dolnej vetve
$n_h$	–	Počet valčekov v hornej vetve
$O_H$	N	Hlavné odpory
$O_P$	N	Prídavné odpory
$O_V$	N	Vedľajšie odpory
$O_{V1}$	N	Odpor v násypke vzniknutý zrýchlením materiálu
$O_{V2}$	N	Odpor pásu vplyvom ohybu cez bubny
$O_{V3}$	N	Odpor v ložiskách hnancích bubnoch
p'	–	Neuberová elementárna častica
P	W	Výkon hnacieho motora
$P_k$	W	Korigovaný výkon motora

$q_1$	kg/m	Tiažová sila dopravovaného materiálu na 1m dĺžky
$q_2$	kg/m	Tiažová sila od 1m pásu
$q_{rd}$	N/m	Tiažová sila od rotujúcich častí horných valčekov na 1m dĺžky
$q_{rh}$	N/m	Tiažová sila od rotujúcich častí dolných valčekov na 1m dĺžky
$Q$	kg/h	Dopravný výkon
$R$	mm	Rádius na osadení hriadeľa
$R_A, R_B$	N	Reakcie v ložiskách
$S$	$m^2$	Teoretický prierez náplne
$t_d$	m	Rozteč dolných valčkových stolíc
$t_h$	m	Rozteč horných valčkových stolíc
$v$	m/s	Dopravná rýchlosť
$v_o$	m/s	Rýchlosť materiálu dopadajúceho na pás
$W_o$	$m^3$	Modul prierezu
$X$	—	Súčinieľ radiálneho zaťaženia
$Y$	—	Súčinieľ axiálneho zaťaženia
$Z_c$	—	Počet čističov
$\alpha$	°	Sklon dopravníka
$\alpha_k$	—	Súčinieľ tvaru
$\beta$	—	Vrubový súčinieľ
$\beta^*$	—	Komplexný vrubový súčinieľ
$\varepsilon$	—	Súčinieľ kvality povrchu
$\zeta$	—	Súčinieľ rozbehu
$\eta$	—	Účinnosť
$\mu$	—	Súčinieľ trenia medzi poháncím bubnom a pásom
$\nu$	—	Súčinieľ veľkosti
$\rho$	—	Objemová hmotnosť
$\sigma_c^*$	MPa	Redukovaná medza únavy
$\sigma_o$	MPa	Napätie v ohybe
$\sigma_{omax}$	MPa	Maximálne napätie v ohybe
$\phi$	rad	Uhol opásania hnacieho bubna

## 7 Zoznam príloh

Návrhová zostava dopravníka

00 3p/21-08/05

Podzostava napínacieho bubna

01 3p/21-08/05

Hriadeľ napínacieho bubna

1 3p/21-08/05

Kusovník

K 3p/21-08/05

CD

Bakalárska práca